# 检验医师病例辨析

# 骨髓增生减低伴红系减少的骨髓增生异常/骨髓增殖性疾病 1 例报告

朱红楠 张志平

作者单位:215002 江苏省,苏州市临床检验中心(朱红楠)

215000 江苏省,南京医科大学附属苏州医院检验科(张志平)

dol:10.3969/j.issn.1674-7151.2012.01.017

患者男,66岁,主因反复咳痰喘4年余加重半月入院。

#### 1 疾疫情况

1.1 现病史 思者男性,66岁,苏州市人。2010年10月初, 渐觉头晕乏力,活动后稍有气急,伴食欲减退,发热,体温最高38℃,咳嗽,咳痰,痰白黏。反复咳痰喘4年余加重半月,为进一步诊治收入院。

1.2 既往史 既往有 WBC 升高 3 年余及贫血病史多年, 2010 年 4 月曾因 WBC 增高于外院就诊、行骨髓穿刺,2 次骨 穿均提示血液稀释,仅提示"骨髓增殖性疾病可能",未明确 诊治。有脾肿大病史十余年,数年前有疟疾病史,服用抗疟疾 药治疗。无特殊化学品及放射线接触史,无药物及食物过敏 史。

1.3 体格检查 重度贫血貌,全身皮肤无黄染,未见瘀斑、瘀点、浅表淋巴结未触及肿大,颜面部轻度浮肿,胸骨无压痛、桶状胸,肋间隙增宽,两肺呼吸音低,少许湿罗音,未闻及哮鸣音,叩诊心界不大,心率 100 次/min,律齐,未闻及杂音和早搏,呼吸 20 次/min,血压 121/61 mmHg。腹肌柔软,肝肋下未及,脾脏平脐,质硬,无压痛,双下肢无浮肿。

# 2 实验室检查

## 2.1 既往检查(门诊)

2010.4.11 外周血分类:中幼粒细胞 4%,晚幼粒细胞 2%,中性分叶核粒细胞(neutrophils, N)72%,淋巴细胞(lymphocyte, L)22%。

2010.4.12 骨髓涂片:示血液稀释。2d后再行骨髓穿刺仍示血液稀释。上腹B超示脾脏重度肿大,CT示肋骨、胸椎、胸骨、肱骨头及肩胛骨多发骨质异常改变。

2010.4.17 骨髓病理活检:示增生低下骨髓象。免疫分型示: 6.7%幼稚细胞群体, CD34、HLA-DR、CD33、CD11b 阳性, 髓系表达, 另见 79.7%粒系成熟障碍。

2010.4.20 染色体:多重 PCR 未见异常。

### 2.2 入院后相关实验室检查

2010.10.26 血常规:WBC 7.53 x10%L, 血红蛋白

(haemoglobin, Hb) 37 g/L, 血小板(platelet, PLT) 211×10<sup>9</sup>/L。 外周血分类:中幼粒细胞 6%, N 80%, L 10%,单核细胞 (monocyte, M) 4%。生化:乳酸脱氢酶 624 U/L,尿素 8.9 mmol/L,肌酐 112.2 µmol/L,尿酸 771 µmol/L,羟丁酸脱氢酶 654 U/L,余正常。血清铁蛋白(serum ferritin, SF):426.72 ng/ mL,神经元特异性烯醇化酶:33.28 ng/mL,叶酸:4.23 ng/mL, 其他肿瘤标志物均正常。

2010.10.27 外周血中性粒细胞碱性磷酸酶(neutrophił alkaline pkosphatase, NAP);阳性率 1%,积分 1 分。血常规:WBC 10.63×10°/L,Hb 44 g/L,PLT 239×10°/L, 网织红细胞 1.29%。免疫球蛋白、补体均正常。

2010.11.01 血常规:WBC 13.49×10°/L,Hb 66 g/L,PLT 271×10°/L。酸溶血试验:阴性。直接抗人球蛋白:阴性。

2010.11.04 血常规:WBC 17.36×10°/L,Hb 82 g/L,PLT 235×10°/I

2010.11.08 血常规:WBC 14.08×10°/L,Hb 75 g/L,PLT 179× 10°/L,中幼粒细胞 8%,N 76%,L 12%,M 4%。

2010.11.09 骨髓涂片(图 1~7): 骨髓增生活跃低水平, 粒红比为 61.3:1, 粒系增生活跃低水平, 原始粒细胞 1.5%, 早幼粒细胞 2.5%, 中幼粒细胞 6%, 晚幼粒细胞 7%. 杆状核粒细胞 47%, 分叶核粒细胞 23.5%, 嗜酸粒细胞 2%, 单核细胞 2.5%, 可见成熟粒细胞, 嗜中性颗粒减少, 类 Pelger—Huèt 畸形。红系增生极度低下, 占 1.5%, 其中中幼红细胞 1%, 晚幼红细胞 0.5%, 易见处于同一发育阶段的幼红细胞岛。 淋巴细胞比例减低, 占 6.5%。全片共见巨核细胞 58 个, 易见病态巨核细胞(淋巴样小巨核细胞、单圆核巨核细胞), PLT 中小鹱易见, 可见大 PLT。外铁染色无小粒, 内铁因幼红细胞极少无法计数。结论:骨髓增生异常/骨髓增殖性疾病不能分类(myelodysplastic syndromes/myeloproliferative disorders—unclassification, MDS/MPD-U)。

2010.11.11 血常规:WBC 12.77×10°/L, Hb 96 g/L, PLT 125×10°/L, 早幼粒细胞 1%, 中幼粒细胞 4%, 晚幼粒细胞 6%, N

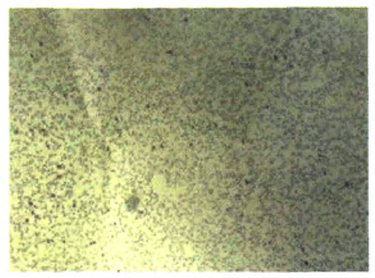


图 1 骨髓涂片。骨髓增生低下(瑞氏-姬姆萨染色,×100)

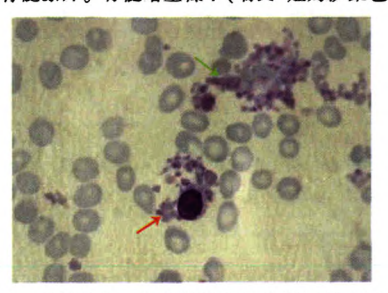


图 2 骨髓涂片。红色箭头所示为淋巴样小巨核,绿色箭头所示为大血小板(瑞氏-姬姆萨染色,×1000)

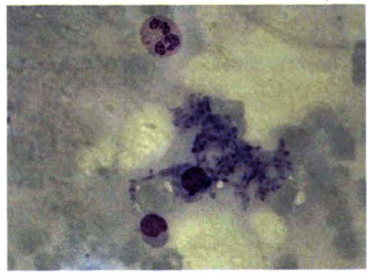


图 3 骨髓涂片。淋巴样小巨核(瑞氏-姬姆萨染色,×1000)

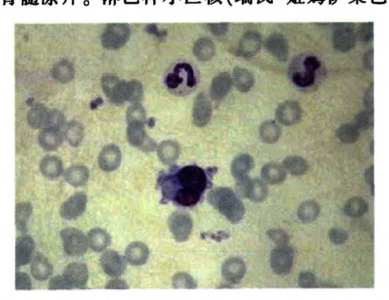


图 4 骨髓涂片。双核小巨核细胞 (瑞氏-姬姆萨染色,×1000)

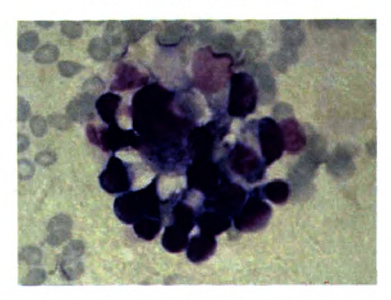


图 5 骨髓涂片。幼红细胞岛(瑞氏-姬姆萨染色,×1000)



图 6 骨髓涂片。巨血小板(瑞氏-姬姆萨染色,×1000)

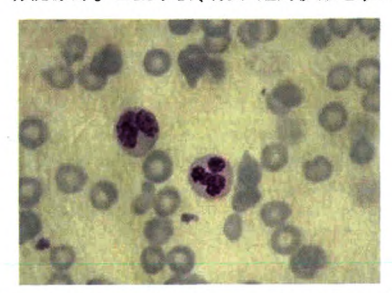


图 7 骨髓涂片。类 Pelger-Huet 畸形, 粒细胞 嗜中性颗粒减少(瑞氏-姬姆萨染色, ×1000)

77%, L 10%, M 2%, 晚幼红细胞 1/100 个 WBC。
2010.11.15 血常规: WBC 6.30×10°/L, Hb 89 g/L, PLT 95×10°/L。

2010.11.18 骨髓病理活检(图 8~10):造血组织占 26%,脂肪组织占 50%,骨小梁 18%,静脉窦 6%。骨髓组织增生明显减低,脂肪组织增多。粒系增生减低,原始、幼稚粒细胞散在少见,成熟粒细胞可见。红系增生减低,幼红细胞簇未见。巨核细胞系增生,病态巨核细胞可见,纤维组织增生,网硬蛋白Gomori 染色(+),结论:结合涂片考虑 MDS/MPD。血常规:WBC 5.55×10°/L,Hb 91 g/L,PLT 70×10°/L。

2010.11.19 遗传学与分子生物学检测:染色体核型正常,Ph (-),BCR/ABL 融 合 基 因 (-),JAK2V617F 基 因 突 变 (JAK2V617F\*)。血常规:WBC 5.55×10°/L,Hb 91 g/L,PLT 70× 10°/L。

# 3 诊疗经过

患者人院时诊断为慢性阻塞性肺炎,肺部感染,白细胞增多症,缺铁性贫血,收治于内科病房,予阿奇霉素、头孢唑肟等抗感染治疗。第二天转人血液科,予输注红细胞悬液改善贫血,共计6次13U,Hb升至82g/L,同时加强抗感染治疗控制肺部感染;患者WBC逐渐升高,最高17.36×10°/L;PLT179×10°/L~271×10°/L。人院第4天行骨髓穿刺与活检,10d后确诊为MDS/MPD-U。确诊后给予羟基脲1.0g/bid,安雄80mg/bid治疗。用药第7天,WBC降至6.30×10°/L,调整羟基脲剂量为0.5g/tid。患者于2010年11月20日出院,出院时体温正常,一般情况稳定,无明显不适,WBC5.55×10°/L,胸片未见明显异常,各肋骨及椎体见点状致密影。嘱继续



图 8 骨髓切片。骨髓增生低下(HE 染色,×100)



图 9 骨髓切片。骨髓造血组织减少,脂肪组织增多 (HGF 染色,×400)

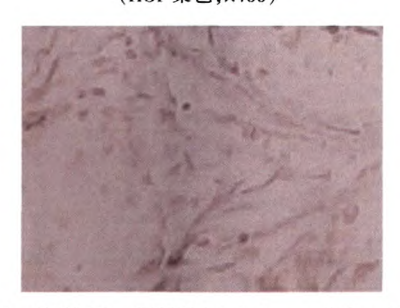


图 10 骨髓切片。网硬蛋白(+)(Gomori 染色,×400)

服用羟基脲 0.5 g/tid,安雄 80 mg/bid,定期复查,不适随诊。

# 4 病例分析

4.1 主任医生分析 患者 WBC 增高 3 年余,此次因"重度贫血"转入血液科,脾脏明显肿大。既往检查骨髓增生低下,免疫分型见幼稚细胞,髓系表达,染色体、融合基因未见异常,诊断考虑骨髓增生性疾病可能性大。入院后复查骨髓涂片示粒、红、巨三系病态造血,骨髓增生异常综合征(myelodysplastic syndromes, MDS)诊断成立。骨髓病理活检示增生减低骨髓象,纤维组织增生,JAK2 基因突变,且脾脏明显肿大,结合涂片考虑 MDS/MPD。骨髓象及基因检测不支持慢性粒细胞白血病(chronic myelocytic leukemia, CML)、真性红细胞增多症(polycythemia vera, PV)诊断;影像学提示骨密度增高,但未见骨骼畸形等表现,骨硬化不支持。治疗上予输注 RBC 改善贫血。患者肺部感染,予加强抗感染治疗。

4.2 检验医师分析 1997 年 Neuwirtová 等 <sup>[1]</sup> 回顾性报道: 616 例诊断为 MDS 的患者中 22 例具有骨髓增殖特征(13 例 PLT 增多,9 例 WBC 增多),另有 7 例几个月后进展为 MPD。

增高的 PLT 数量相对稳定,而 WBC 数量的增多呈进展性,且 所有患者均有不同程度的贫血。这一时期的报道提示有一类 疾病既有骨髓增生异常特点,又有骨髓增殖特征,但采用 FAB 分类法将其单独归入 MDS 或 MPD 都比较困难。2001 年 WHO 髓系肿瘤分类中正式将 MDS/MPD 设立为一类, 更有 利于对这种叠合两种疾病类别的病种进行研究。此类疾病为 克隆性造血干细胞疾病,包括:慢性粒单核细胞白血病,不典 型慢性髓细胞白血病,幼年型粒-单核细胞白血病和 MDS/ MPD-U。MDS/MPD-U 的诊断标准为:①临床和形态学特征 符合 MDS 的任何一个亚型,外周血和骨髓中原始细胞< 20%;②有明显骨髓增殖性表现,如 PLT≥ 600×10°/L,且有巨 核细胞增生或 WBC≥ 13×10°/L,有或无明显脾肿大;③无慢 性骨髓增殖性疾病 (chronic myeloproliferative disorders, CM-PD)或 MDS 病史, 无近期使用能引起骨髓增生异常或骨髓增 殖样变化的细胞毒药物或生长因子史, 无 Ph 染色体、BCR/ ABL、5q-、t(3;3)(q21;q26)或 inv(3)(q21;q26)。 ④有 MDS 和 MPD 特征但不能归入 MDS、CMPD 或 MDS/MPD 任何类型 之中。

本例患者为老年男性,重度贫血,外周血检查可见幼红细胞、幼粒细胞;骨髓细胞形态学具有典型 MDS 特征。骨髓涂片粒系、巨核系存在病态造血,可见成熟粒细胞颗粒减少,类 Pelger-Huèt 畸形,易见淋巴样小巨核;红系很少见,仅1.5%,易见幼红细胞岛,示红系成熟障碍。FAB 提出骨髓红系的过多(>75%)或过少(<5%)均为病态造血现象,但红系减少的 MDS 特点如何,国内外文献鲜有报道<sup>[2]</sup>。另外,该患者SF增高,示骨髓铁利用障碍与无效造血;NAP 明显减低,可能是 MDS、MPD 单独所致或 MDS/MPD 的叠合效应。

近年来,国内外有关低增生性 MDS (hypoproliferative MDS, hypo-MDS)的研究报告逐新增多,造血组织容量减少是 hypo-MDS 诊断的重要指标之一。根据 Marisavljevic<sup>(3)</sup>的标准,细胞容积70岁以下<0.30,70岁以上<0.20可以诊断为hypo-MDS。本例患者骨髓涂片、骨髓病理活检均提示增生低下,骨髓造血组织减少,脂肪组织增多,网硬蛋白阳性,支持hypo-MDS 诊断。

国内外研究<sup>[4,5]</sup>发现,MDS-RA 型在外周血及骨髓细胞形态学、环形铁粒幼红细胞、原始细胞数量等诸项诊断指标还未出现异常时,髓系细胞免疫表型已出现异常,即髓系细胞的免疫表型异常比形态学异常更早、更敏感。MDS 原始细胞特征性地表达 CD34、HLA-DR、CD13、CD33<sup>[6]</sup>,本例患者非系列免疫标记(CD34、HLA-DR)及髓系标记(CD33、CD11b)高表达,符合 MDS 特征。至于 CD11b\*是由于 MDS、MPD 还是MDS/MPD 而表达尚不能确定,因为在急、慢性髓细胞白血病中 CD11b 几乎都有不同程度表达,尤其在慢性期 CML 中几乎全表达(20/21,95.2%)<sup>[7]</sup>。

(下接第 49 页)

- 4 Lippi G, Tarpher G, Montapnana M, et al. Relationship between red blood cell distribution width and kidney function tests in a large cohort of unselected outpatients. Scand J Chin Lab Invest, 2008, 68:745 – 748.
- 5 刘红丹, 钦传银, 张平, 等. 慢性心力衰竭患者红细胞分布宽度的 检测分析, 微循环学杂志, 2009, 19:64-65.

(收稿日期:2012-02-09)

(本文编辑:张志成)

#### (上接第62页)

MPD 是一类异质性的克隆性造血干细胞疾病, MPD 中 CML 的分子生物学发病机制已基本明确, Ph 染色体或 BCR/ ABL作为 CML 诊断的必要条件已得到公认。而 BCR/ABL 阴 性 MPD 的分子发病机制研究进展相对缓慢。自 2005 年 3 月 起,国际上多个研究小组相继报道<sup>[8-11]</sup>,在大多数 PV(65%~ 97%)、部分特发性血小板增多症(23%~57%)及特发性骨髓 纤维化 (35%~57%) 患者中存在高致病性的获得性基因突 变-JAK2V617F点突变,而其他髓系肿瘤发生率很低。 JAK2V617F 点突变发生于 JAK2 基因第 14 号外显子 1849 位 核苷酸 G→T 突变,导致 JAK2 蛋白激酶样区结构域(JH2) 617 位高度保守的缬氨酸变为苯丙氨酸。JAK2V617F 是发生 在造血干细胞水平的功能获得性突变,在 2008 年 WHO 修订 标准中,有 JAK2 突变成为 BCR/ABL 阴性 MPD 的主要诊断 指标[12]。Szpurka 等[13]研究表明,典型 MDS 的 JAK2 绝大多数 为野生型(98.4%,61/62例),有 V617F 突变者多为 MDS 与 CMPD 重叠, 即混合性 MDS/MPD。本例患者 Ph (-).BCR/ ABL(-), JAK2V617F\*, WBC 增高, 巨脾, 符合 MPD 的特点。

#### 5 小结

本例患者依据外周血、骨髓涂片、骨髓活检、免疫表型、细胞遗传学、分子生物学以及临床特征诊断为低增生性 MDS/MPD-U,诊断依据充分。一般 MDS 与 MPD 的骨髓象均表现为高增生性,低增生 MDS 仅占 10%左右,骨髓增生低下且伴红系减少的 MDS 已是少见,低增生性 MDS/MPD-U 尤为罕见。

#### 6 参考文献

- 1 Neuwirtová R, Mociková K, Jelinek J, et al. Mixed myelodysplastic and myeloproliferative syndromes. Cas Lek Cesk. 1997, 136:724-729.
- 2 杨崇礼,李孝义,刘世和,等.1 例髂骨增生减低伴红系减少的 MDS 诊断过程. 白血病·淋巴瘤,2003,12:160-161.
- 3 Marisavljevic D, Cemerikic V, Rolovic Z, et al. Hypocellular myelodysplastic syndromes: clinical and biological significance. Med

Oncol, 2005, 22:169-175.

- 4 Kristensen JS, Hokland P. Monoclonal antibody ratios in malignant Myeloid dieases; diagnostic and prognostic use in myelodysplastic syndromes. Br J Haematol, 1990, 74:270-276.
- 5 邵宗鸿,陈桂彬,林泽嬉,等. 骨髓增生异常综合征體系细胞免疫 表型及其临床意义的研究. 中华血液学杂志,1997,18:80-83.
- 6 Ogata K, Nakamura K, Yokose N, et al. Clinical significance of phenotypic features of blasts in patients with myelodysplastic syndrome. Blood, 2002, 100; 3887–3896.
- 7 沈红强、汤永民、宋华、等、CD117/CD11b 在急性早幼粒细胞白血 病不同期的表达变化,中国实验血液学杂志,2006,14:644-648.
- 8 Baxter EJ, Scott LM, Campbell PJ, et al. Acquired mutation of the tyrosine kinase JAK2 in human myeloproliferative disorders. Lancet, 2005, 365:1054-1061.
- 9 Kralovics R, Passamonti F, Buser AS, et al. A gain-of-function mutation of JAK2 in myeloproliferative disorders. N Engl J Med, 2005, 352:1779-1790.
- 10 Levine RL, Wadleigh M, Cools J, et al. Activating mutation in the tyrosine kinase JAK2 in polycythemia vera, essential thrombocythemia, and myeloid metaplasia with myelofibrosis. Cancer Cell, 2005, 7:387–397.
- 11 James C, Ugo V, Le Couedic JP, et al. A unique clonal JAK2 mutation leading to constitutive signalling causes polycythaemia vera. Nature, 2005, 434:1144-1148.
- 12 Tefferi A, Vardiman JW. Classification and diagnosis of myeloproliferative neoplasms: The 2008 World Health Organization criteria and point-of-care diagnostic algorithms. Leukemia, 2008, 22:14-22.
- 13 Szpurka H, Tiu R, Murugesan G, et al. Refractory anemia with ringed sideroblasts associated with marked thrombocytosis (RARS-T), another myeloproliferative condition characterized by JAK2V617F mutation. Blood, 2006, 108:2173-2181.

(收稿日期:2011-12-09) (本文编辑:陈淑莲)